

О ПОПЕРЕЧНОМ ИЗГИБЕ КОНСОЛИ В НЕЛИНЕЙНОЙ ТЕОРИИ ПОЛЗУЧЕСТИ

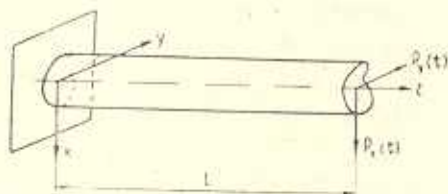
СИМОНЯН А. М., АВETИСЯН Г. А.

Вопросы распределения напряжений в брусках при чистом изгибе рассматривались в ряде работ, например, в [1—5]. Учет поперечных сил при изгибе, согласно линейной теории наследственности, осуществлен в работе [6]. В работе [7] исследовался вопрос о поперечном изгибе призматического бруса с сечением, имеющим ось симметрии, при действии поперечной силы, направленной по оси симметрии сечения, в условиях ползучести, описываемой теорией течения [8].

В настоящей работе строится решение о действии сосредоточенной поперечной силы на конце призматического бруса произвольного сечения. материал которого деформируется, согласно нелинейной теории наследственности [9] в постановке [10] с некоторыми видоизменениями. Исследуется положение центра изгиба с учетом ползучести.

1. Постановка задачи

Рассмотрим заделанный одним торцом призматический брус длины l произвольного односвязного сечения, на другой торец которого действует поперечная сосредоточенная сила, определяемая проекциями $P_x(t)$ и $P_y(t)$ на центральные оси x и y поперечного сечения бруса (фиг. 1).



Фиг. 1.

Принимается, что

$$\sigma_x = \sigma_y = \tau_{xy} = 0 \quad (1.1)$$

и также условие объемной несжимаемости материала

$$\varepsilon_x + \varepsilon_y + \varepsilon_z = 0 \quad (1.2)$$

Для описания ползучести, описываемой нелинейной зависимостью от напряжений, обычно принимается тезис о пропорциональности и соотносности девиаторов напряжений и деформаций [9]

$$\begin{aligned} \varepsilon_x &= \frac{3}{2} \frac{\varepsilon_i}{\sigma_i} (\sigma_x - \sigma) & (x, y, z) \\ \tau_{xy} &= \frac{3}{2} \frac{\varepsilon_i}{\sigma_i} (\tau_{xy}) & (x, y, z) \end{aligned} \quad (1.3)$$

где

$$\sigma = \frac{1}{3} (\sigma_x + \sigma_y + \sigma_z)$$

$$\sigma_i = \frac{1}{\sqrt{2}} \sqrt{(\sigma_x - \sigma_y)^2 + (\sigma_y - \sigma_z)^2 + (\sigma_z - \sigma_x)^2 + 6(\tau_{xy}^2 + \tau_{yz}^2 + \tau_{zx}^2)}$$

$$\varepsilon_i = \frac{1}{\sqrt{2}} \sqrt{(\varepsilon_x - \varepsilon_y)^2 + (\varepsilon_y - \varepsilon_z)^2 + (\varepsilon_z - \varepsilon_x)^2 + 3/2(\gamma_{xy}^2 + \gamma_{yz}^2 + \gamma_{zx}^2)}$$

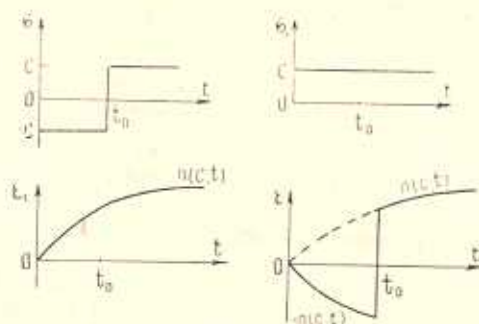
причем σ_i и ε_i связаны друг с другом посредством некоторого временного оператора Π , независимо от вида напряженного состояния

$$\varepsilon_i(t) = \Pi[\sigma_i(t), t] \quad (1.4)$$

Однако уравнения (1.3) вкуне с (1.4) содержат в себе недостатки, которые можно проиллюстрировать, в частности, на примере нижеследующей программы изменения осевого напряжения $\sigma_z(t)$:

$$\sigma_z(t) = \begin{cases} -c & \text{при } 0 < t < t_0 \\ c & \text{при } t > t_0 \end{cases} \quad (1.5)$$

Согласно (1.3) — (1.5), легко видеть (фиг. 2), что деформации ползучести $\varepsilon(t)$ при $t > t_0$ будут точно такими же, какими они были бы при $\sigma(t) \equiv c$ (показаны штриховыми линиями), независимо от t_0 и от вида оператора Π , при этом в точке $t = t_0$ они претерпевают разрыв, в два раза превосходящий накопившуюся деформацию ползучести до момента t_0 , что не имеет смысла. В связи с тем, что в задачах изгиба брусьев преобладающими напряжениями являются σ_z , естественным представля-



Фиг. 2.

ется здесь в уравнениях (1.3) значения интенсивностей напряжений σ_i и деформаций ε_i заменить соответственно σ_z и ε_z , которые, в отличие от интенсивностей, могут быть знакопеременными. Вместо (1.3) будем иметь

$$\begin{aligned} \varepsilon_x &= \frac{3}{2} \frac{\varepsilon_z}{\sigma_z} (\sigma_x - \sigma) & (x, y, z) \\ \gamma_{xy} &= \frac{3}{2} \frac{\varepsilon_z}{\sigma_z} \tau_{xy} & (x, y, z) \end{aligned} \quad (1.6)$$

Присовокупим сюда соотношение, аналогичное (1.4), записанное для нелинейной теории наследственности

$$\varepsilon_z(t) = (1 + K^*) f[\sigma_z(t)] \quad (1.7)$$

где принято обозначение [10]

$$K^*f[\varepsilon(t)] \equiv \int_0^t f[\varepsilon(\tau)] K(t, \tau) d\tau$$

$$K(t, \tau) = - \frac{\partial C(t, \tau)}{\partial \tau} \quad (1.8)$$

$C(t, \tau)$ — мера ползучести материала, нагруженного в возрасте τ [11]

$$f(\varepsilon) = A |\varepsilon|^n \operatorname{sign} \varepsilon \quad (1.9)$$

где A и n — параметры, определяемые из испытания на одноосную ползучесть.

Отметим, что уравнения (1.6) вкпе с (1.7) не имеют вышеуказанных недостатков, присущих (1.3) вкпе с (1.4).

Согласно принимаемой здесь гипотезе плоских сечений, имеем также

$$\varepsilon_z(x, y, z, t) = a(z, t)x + b(z, t)y + s(z, t) \quad (1.10)$$

§ 2. Сведение задачи к разрешающим уравнениям

Выпишем уравнения и граничные условия, которые должны соблюдаться:

дифференциальные уравнения равновесия, которые с учетом (1.1) запишутся в виде

$$\frac{\partial \tau_{xz}}{\partial z} = 0; \quad \frac{\partial \tau_{yz}}{\partial z} = 0 \quad (2.1)$$

$$\frac{\partial \tau_{xz}}{\partial x} + \frac{\partial \tau_{yz}}{\partial y} + \frac{\partial \varepsilon_z}{\partial z} = 0 \quad (2.2)$$

интегральные условия

$$\iint_{\Omega} \varepsilon_z d\Omega = 0 \quad (2.3)$$

$$\iint_{\Omega} \varepsilon_x x d\Omega = -P_x(t)(l-z) \quad (2.4)$$

$$\iint_{\Omega} \varepsilon_y y d\Omega = -P_y(t)(l-z) \quad (2.5)$$

где Ω — площадь поперечного сечения бруса, а также условия совместности деформаций, которые с учетом (1.1) и (1.3) запишутся в виде

$$\frac{\partial}{\partial x} \left(- \frac{\partial \tau_{yz}}{\partial x} + \frac{\partial \tau_{xz}}{\partial y} \right) = 2 \frac{\partial^2 \varepsilon_z}{\partial y \partial z} \quad (2.6)$$

$$\frac{\partial}{\partial y} \left(\frac{\partial \tau_{yz}}{\partial x} - \frac{\partial \tau_{xz}}{\partial y} \right) = 2 \frac{\partial^2 \varepsilon_z}{\partial x \partial z} \quad (2.7)$$

Поскольку поперечные размеры малы по сравнению с длиной, то естественно принять $\partial z_j / \partial z \ll \partial z_j / \partial x$ и $\partial z_j / \partial z \ll \partial z_j / \partial y$, вследствие чего, а также с учетом (1.10), (1.2) и (1.6), остальные условия совместности деформаций можно снять из рассмотрения. Используя (1.7), (1.9), (1.10), (2.3), (2.4), (2.5), получим

$$\varepsilon_z(x, y, z, t) = [\alpha(t)x + \beta(t)y + \delta(t)](l-z)^n \quad (2.8)$$

$$\begin{aligned} \varepsilon_x(x, y, z, t) = & |(1-R^*)[\alpha(t)x + \beta(t)y + \delta(t)]|^{1/n-1} \times \\ & \times (1-R^*)[\alpha(t)x + \beta(t)y + \delta(t)] A^{-1/n} (l-z) \end{aligned} \quad (2.9)$$

где при обозначении (1.8) $R(t, \tau)$ — резольвента вольтерровского ядра $K(t, \tau)$, а введенные здесь функции $\alpha(t)$, $\beta(t)$ и $\delta(t)$ при произвольных фиксированных t определяются из уравнений

$$\begin{aligned} \iint_{\Omega} |(1-R^*)[\alpha(t)x + \beta(t)y + \delta(t)]|^{1/n} x d\Omega &= -A^{1/n} P_x \\ \iint_{\Omega} |(1-R^*)[\alpha(t)x + \beta(t)y + \delta(t)]|^{1/n} y d\Omega &= -A^{1/n} P_y \\ \iint_{\Omega} |(1-R^*)[\alpha(t)x + \beta(t)y + \delta(t)]|^{1/n} d\Omega &= 0 \end{aligned} \quad (2.10)$$

где степенная функция для отрицательных аргументов понимается в смысле нечетного продолжения.

Уравнения (2.1) и (2.2) при использовании (2.9) решаются путем введения функции напряжений $F(x, y, t)$ по формулам

$$\begin{aligned} \tau_{xz} &= \frac{\partial F}{\partial y} + A^{-1/n} \frac{n}{n+1} |(1-R^*)[\alpha(t)x + \beta(t)y + \delta(t)]|^{1/n+1} + f_1(y, t) \\ \tau_{yz} &= -\frac{\partial F}{\partial x} + f_2(x, t) \end{aligned} \quad (2.11)$$

где $f_1(y, t)$ и $f_2(x, t)$ — произвольные функции.

Уравнения (2.6) и (2.7) могут быть сведены к следующему:

$$\frac{\partial \tau_{xz}}{\partial y} - \frac{\partial \tau_{yz}}{\partial x} = (l-z)^{n-1} \{[\beta(t)x - \alpha(t)y]n + B(t)\} \quad (2.12)$$

где $B(t)$ — функция времени, определяющая поворот поперечного сечения.

Подставляя (1.6), (2.8), (2.9) и (2.11) в (2.12), получим основное уравнение относительно функции напряжения $F(x, y)$

$$\frac{\partial^2 F}{\partial x^2} + \frac{\partial^2 F}{\partial y^2} + \mu(x, y) \frac{\partial F}{\partial y} + \nu(x, y) \frac{\partial F}{\partial x} = \lambda(x, y) \quad (2.13)$$

где

$$u(x, y) = \frac{\beta(t)}{\Lambda(x, y, t)} - \frac{1}{n} \frac{(1-R^*)\beta(t)}{(1-R^*)\Lambda(x, y, t)} \quad (2.14)$$

$$v(x, y) = \frac{\alpha(t)}{\Lambda(x, y, t)} - \frac{1}{n} \frac{(1-R^*)\alpha(t)}{(1-R^*)\Lambda(x, y, t)} \quad (2.15)$$

$$\begin{aligned} \lambda(x, y) = & \frac{2}{3} n A^{-1/n} [\Lambda(x, y, t)]^{-1} \left[\beta(t)x - \alpha(t)y + \frac{B(t)}{n} \right] \times \\ & \times |(1-R^*)\Lambda(x, y, t)|^{1/n-1} (1-R^*)\Lambda(x, y, t) - \\ & - \frac{n}{n+1} A^{-1/n} (1-R^*)\beta(t) \cdot |(1-R^*)\Lambda(x, y, t)|^{1/n-1} (1-R^*)\Lambda(x, y, t) - \\ & - \frac{n}{n+1} A^{-1/n} \frac{\beta(t)}{\Lambda(x, y, t)} |(1-R^*)\Lambda(x, y, t)|^{1/n+1} + \\ & + \frac{\partial f_2(x, t)}{\partial x} - \frac{\partial f_1(y, t)}{\partial y} + \left[\frac{\alpha(t)}{\Lambda(x, y, t)} - \right. \\ & \left. - \frac{1}{n} \frac{(1-R^*)\alpha(t)}{(1-R^*)\Lambda(x, y, t)} \right] f_2(x, t) - \\ & - \left[\frac{\beta(t)}{\Lambda(x, y, t)} - \frac{1}{n} \frac{(1-R^*)\beta(t)}{(1-R^*)\Lambda(x, y, t)} \right] f_1(y, t) \quad (2.16) \\ & \Lambda(x, y, t) = \alpha(t)x + \beta(t)y + \delta(t) \end{aligned}$$

$$(1-R^*)f(t) = f(t) - \int_0^t R(t, \tau) f(\tau) d\tau$$

Поскольку на контуре сечения не имеется внешних нагрузок, то краевое условие запишется так:

$$\tau_{xz} \cos(\bar{n}, \bar{x}) + \tau_{yz} \cos(\bar{n}, \bar{y}) = 0 \quad (2.17)$$

где \bar{n} — внешняя нормаль к точке контура сечения.

Подставляя (2.11) в (2.17), получим следующее краевое условие для функции $F(x, y)$:

$$\begin{aligned} \frac{\partial F}{\partial s} = & - A^{-1/n} \frac{n}{n+1} |(1-R^*)[\alpha(t)x + \beta(t)y + \delta(t)]|^{1/n+1} \frac{dy}{ds} + \\ & + f_2(x, t) \frac{\partial x}{\partial s} - f_1(y, t) \frac{\partial y}{\partial s} \quad (2.18) \end{aligned}$$

где ds — элемент контура сечения.

Таким образом, задача определения касательных напряжений сведена к уравнению (2.13) при краевом условии (2.18).

Рассмотрим теперь вопрос, будет ли брус закручиваться и где следует приложить силы $P_x(t)$ и $P_y(t)$ для изгиба без кручения, то есть, где на-

ходится центр изгиба. Поскольку для несимметричных сечений, вообще говоря, суждение об отсутствии кручения затруднительно, то будем считать кручение отсутствующим, если

$$\int_{\Omega} \omega_z(x, y) d\Omega = 0 \quad (2.19)$$

где ω_z — поворот элемента площади в окрестности точки x, y относительно оси z . Легко видеть из формул Ламе, выражающих деформации через перемещения, что

$$\frac{\partial \omega_z}{\partial z} = \frac{\partial^2 \gamma_{xz}}{\partial y^2} - \frac{\partial^2 \gamma_{yz}}{\partial x^2} \quad (2.20)$$

Подставляя (2.20) и (2.12) в (2.19), получим, что кручение отсутствует при условии

$$B(t) = 0 \quad (2.21)$$

что конкретизирует правую часть уравнения (2.13).

Определим теперь местоположение центра изгиба. Для этого воспользуемся следующим интегральным условием:

$$\int_{\Omega} (y^2 \gamma_{xz} - x^2 \gamma_{yz}) d\Omega = -M_{xy} \quad (2.22)$$

где M_{xy} — крутящий момент, вызванный силами P_x и P_y . Подставляя сюда $M_{xy} = P_x y_0 - P_y x_0$, а также (2.11), для определения условия отсутствия кручения получим уравнение прямой линии

$$P_y(t) x_0 - P_x(t) y_0 - \iint_{\Omega} \left\{ y \frac{\partial F(x, y, t)}{\partial y} + x \frac{\partial F(x, y, t)}{\partial x} + y f_1(y, t) - \right. \\ \left. - x f_2(x, t) + \frac{ny}{n+1} A^{-1n} |1 - R^*| [z(t)x + \beta(t)y + \delta(t)]^{1n+1} \right\} d\Omega = 0 \quad (2.23)$$

то есть при действии силы с составляющими $P_x(t)$ и $P_y(t)$ кручение не будет иметь места, если точка приложения (x_0, y_0) этой силы находится на прямой линии, определяемой уравнением (2.23).

Вышеприведенные уравнения можно использовать и для случая наличия кручения, если задан поворот сечения на некотором расстоянии от защемления.

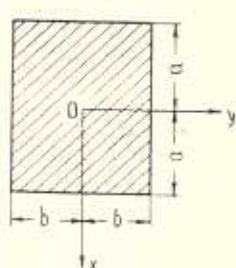
Для тонкостенных несимметричных и длинных брусьев определение центра изгиба приобретает особое значение. Таким образом, задача об изгибе брусьев сведена к решению системы (2.10) относительно $\alpha(t)$, $\beta(t)$ и $\delta(t)$, где t играет роль параметра, и, следовательно, определению σ_z и ε_z по формулам (2.8) и (2.9), затем к решению уравнения (2.13) при краевом условии (2.18) и определению центра изгиба согласно (2.23), к

которому должны быть приложены внешние силы для отсутствия кручения. Функции $f_1(y, t)$ и $f_2(x, t)$, входящие в (2.16), (2.18) и (2.23), произвольны, приравнение их нулю не отражается на определении напряжений.

§ 3. Изгиб консольного бруса прямоугольного сечения

В качестве приложения рассмотрим задачу об изгибе бруса прямоугольного сечения, допускающую аналитическое решение.

Положим, что на брус (фиг. 3) вдоль оси x действует сила P . Из системы (2.10) получим



Фиг. 3.

$$\alpha(t) = -A \left(\frac{2+1/n}{4b} \right)^n a^{1/(1+2n)} (1+K^*) [|P|^{n-1} P] \quad (3.1)$$

$$\beta(t) = \delta(t) = 0$$

Условие (2.18) запишется так

$$\frac{\partial F}{\partial s} = -A^{-1/n} \frac{n}{n+1} |(1-R^*) \alpha(t)|^{1/n+1} x^{1/n+1} \frac{\partial y}{\partial s} +$$

$$+ f_2(x, t) \frac{\partial x}{\partial s} - f_1(y, t) \frac{\partial y}{\partial s} \quad (3.2)$$

Принимая

$$f_2(x, t) = 0 \quad (3.3)$$

$$f_1(y, t) = -A^{-1/n} \frac{n}{n+1} |(1-R^*) \alpha(t)|^{1/n+1} a^{1/n+1}$$

получим, что как на сторонах $y = \pm b$, так и $x = \pm a$, то есть на всем контуре $\partial F/\partial s = 0$, и, не умаляя общности, можно принять

$$F(\pm a, y) = 0 \quad (3.4)$$

$$F(x, \pm b) = 0$$

Учитывая (3.1) и (3.3), уравнение (2.13) перепишем так

$$\frac{\partial^2 F}{\partial x^2} + \frac{\partial^2 F}{\partial y^2} + \frac{1}{x} \left(1 - \frac{1}{n}\right) \frac{\partial F}{\partial x} = \frac{(1+2n)P}{6} \frac{y|x|^{1/n-1}}{ba^{1/n+2}} \quad (3.5)$$

Решение уравнения (3.5), удовлетворяющее второму условию (3.4), ищем в виде ряда

$$F(x, y, t) = \sum_{k=1}^{\infty} x_k(x, t) \sin \frac{k\pi}{b} y \quad (3.6)$$

Разлагая в аналогичный ряд Фурье правую часть (3.5) и приравнивая коэффициенты при $\sin(k\pi y)/b$, получим

$$\frac{\partial^2 x_k(x, t)}{\partial x^2} + \left(1 - \frac{1}{n}\right) \frac{1}{x} \frac{\partial x_k(x, t)}{\partial x} - \frac{\pi^2 k^2}{b^2} x_k(x, t) =$$

$$= \frac{1+2n}{3k\pi} (-1)^{k+1} \frac{x^{1/n-1} P}{a^{1/n+2}} \quad (3.7)$$

Осуществляя замену переменных

$$x = \frac{b\zeta_k}{ik\pi}; \quad x_k = \psi_k x^{1/2n}; \quad v = \frac{1}{2n} \quad (3.8)$$

уравнение (3.7) сводится к неоднородному уравнению Бесселя

$$\zeta^2 \frac{\partial^2 \psi_k}{\partial \zeta^2} + \zeta \frac{\partial \psi_k}{\partial \zeta} + (\zeta^2 - v^2) \psi_k = \frac{(-1)^{k+1} (1+2n)}{3k\pi a^{1/n+2}} \left(\frac{b\zeta}{ik\pi} \right)^{1+1/2n} P \quad (3.9)$$

Общее решение уравнения (3.9) при обозначениях (3.8) запишется в виде [12]

$$\psi_k(x) = C_{1k}(t) I_\nu \left(\frac{k\pi x}{b} \right) + C_{2k}(t) I_{-\nu} \left(\frac{k\pi x}{b} \right) + \chi(x, t) \quad (3.10)$$

где I_ν и $I_{-\nu}$ — функции Бесселя мнимого аргумента порядка ν и $-\nu$ соответственно, $C_{1k}(t)$ и $C_{2k}(t)$ — произвольные функции интегрирования, $\chi(x, t)$ — частное решение уравнения (3.9). Используя результаты [13], для функции $\chi(x, t)$ получим выражение

$$\chi(x, t) = (-1)^k \left(\frac{b}{k\pi} \right)^{\nu+1} P \frac{(1+2n) 2^{\nu-1} \Gamma(\nu+1/2)}{3k\sqrt{\pi} a^{2+1/n}} L_\nu \left(\frac{k\pi x}{b} \right) \quad (3.11)$$

где $L_\nu \left(\frac{k\pi x}{b} \right)$ — функция Струве, представляемая в виде нижеследующего ряда:

$$L_\nu \left(\frac{k\pi x}{b} \right) = \sum_{m=1}^{\infty} \frac{\left(\frac{k\pi x}{2b} \right)^{2m+\nu+1}}{\Gamma\left(m + \frac{3}{2}\right) \Gamma\left(\nu + m + \frac{3}{2}\right)} \quad (3.12)$$

Используя (3.6), (3.8), (3.10) и (3.11), для функции напряжений $F(x, y, t)$ получим выражение

$$F(x, y, t) = x^\nu \sum_{k=1}^{\infty} \left[C_{1k}(t) I_\nu \left(\frac{k\pi x}{b} \right) + C_{2k}(t) I_{-\nu} \left(\frac{k\pi x}{b} \right) + \lambda_k(t) L_\nu \left(\frac{k\pi x}{b} \right) \right] \sin \frac{k\pi y}{b} \quad (3.13)$$

где

$$\lambda_k(t) = (-1)^k \left(\frac{b}{k\pi} \right)^{\nu+1} \frac{(1+2n) 2^{\nu-1} \Gamma(\nu+1/2)}{3k\sqrt{\pi} a^{1/n+2}} P \quad (3.14)$$

Подставляя (3.13) во второе уравнение (2.11) и учитывая (3.3), получим

$$\tau_{yz}(x, y, t) = -\nu x^{\nu-1} \sum_{k=1}^{\infty} \left[C_{1k}(t) I_\nu \left(\frac{k\pi x}{b} \right) + C_{2k}(t) I_{-\nu} \left(\frac{k\pi x}{b} \right) + \right.$$

$$\begin{aligned}
 & + \lambda(t) L_{\nu} \left(\frac{k\pi x}{b} \right) \left[\sin \frac{k\pi y}{b} - x' \sum_{k=1}^{\infty} \left[C_{1k}(t) \frac{d}{dx} I_{\nu} \left(\frac{k\pi x}{b} \right) + \right. \right. \\
 & \left. \left. + C_{2k}(t) \frac{d}{dx} I_{-\nu} \left(\frac{k\pi x}{b} \right) + \lambda_k(t) \frac{d}{dx} L_{\nu} \left(\frac{k\pi x}{b} \right) \right] \sin \frac{k\pi y}{b} \right] \quad (3.15)
 \end{aligned}$$

Из условия, что τ_{yz} на линии $x = 0$ является конечной величиной, заключаем, что

$$C_{1k}(t) = 0 \quad (3.16)$$

Для того, чтобы удовлетворить первому условию (3.4), достаточно положить

$$C_{2k}(t) = - \frac{\lambda_k(t) L_{\nu} \left(\frac{k\pi a}{b} \right)}{I_{-\nu} \left(\frac{k\pi a}{b} \right)} \quad (3.17)$$

Используя (3.13), (3.14), (3.16) и (3.17), получим следующее выражение для функции напряжений $F(x, y, t)$:

$$\begin{aligned}
 F(x, y, t) &= \frac{2^{n-1} b^{n+1} x^n (1+2n) \Gamma(\nu+1/2) P}{3\pi^{n+3/2} a^{2+1/n}} \times \\
 &\times \sum_{k=1}^{\infty} \frac{(-1)^k}{k^{\nu+2}} \left[-L_{\nu} \left(\frac{k\pi x}{b} \right) \frac{I_{-\nu} \left(\frac{k\pi x}{b} \right)}{I_{-\nu} \left(\frac{k\pi a}{b} \right)} + L_{\nu} \left(\frac{k\pi x}{b} \right) \right] \sin \frac{k\pi y}{b} \quad (3.18)
 \end{aligned}$$

Можно показать, что, принимая в (3.18) $n=1$ ($\nu=1/2n=1/2$), из формулы (3.18) получим известное решение задачи Сен-Венана об изгибе упругой консольной балки прямоугольного сечения [14].

Поскольку функции Бесселя протабулированы, целесообразным представляется выразить через них функцию Струве, согласно [12]:

$$L_{\nu}(x) = I_{\nu}(x) - \frac{2(x/2)^{\nu}}{\Gamma(\nu+1/2)\Gamma(1/2)} \int_0^{\infty} (1+y^2)^{\nu-1/2} \sin(xy) dy \quad (3.19)$$

После подстановки (3.19) в (3.18) и (2.11) и использования рекуррентных соотношений для $I_{\nu}(x)$ и $I_{-\nu}(x)$ после ряда преобразований получим нижеследующие выражения для τ_{xz} и τ_{yz}

$$\tau_{xz} = \frac{(1+2n)x^n P}{3\pi a^{n+2}} \sum_{k=1}^{\infty} \left[\frac{(-1)^k}{k} \left[\frac{I_{\nu} \left(\frac{k\pi x}{b} \right)}{I_{-\nu} \left(\frac{k\pi a}{b} \right)} \int_0^{\infty} \sin \left(\frac{k\pi a \xi}{b} \right) (1+\xi^2)^{\nu-1/2} d\xi - \right. \right.$$

$$- \left. \left(\frac{x}{a} \right)^{\nu} \int_0^{\infty} \sin \left(\frac{k\pi x \xi}{b} \right) (1 + \xi^2)^{\nu-1/2} d\xi \right] \cos \frac{k\pi y}{b} \quad (3.20)$$

$$+ \frac{P(\nu+1)(a^{2\nu+1} - x^{2\nu+1})}{2(2\nu+1)ba^{2(\nu+1)}}$$

$$\begin{aligned} \tau_{yz} = & - \frac{P(\nu+1)bx^{\nu-1}}{3\pi^2 a^{\nu+1/2}} \sum_{k=1}^{\infty} \left[\frac{(-1)^k}{k^2} \left[\frac{I_{-\nu} \left(\frac{k\pi x}{b} \right)}{I_{-\nu} \left(\frac{k\pi a}{b} \right)} \times \right. \right. \\ & \times \int_0^{\infty} \sin \left(\frac{k\pi a \xi}{b} \right) (1 + \xi^2)^{\nu-1/2} d\xi + \\ & + \frac{k\pi x}{2\nu b} \left(\frac{I_{-\nu-1} \left(\frac{k\pi x}{b} \right)}{I_{-\nu} \left(\frac{k\pi a}{b} \right)} + \frac{I_{-\nu+1} \left(\frac{k\pi x}{b} \right)}{I_{-\nu} \left(\frac{k\pi a}{b} \right)} \right) \int_0^{\infty} \sin \left(\frac{k\pi a \xi}{b} \right) (1 + \xi^2)^{\nu-1/2} d\xi + \\ & \left. + 2(n-1) \left(\frac{x}{a} \right)^{\nu} \int_0^{\infty} \sin \left(\frac{k\pi x \xi}{b} \right) (1 + \xi^2)^{\nu-3/2} d\xi \right] \sin \frac{k\pi y}{b} \quad (3.21) \end{aligned}$$

В табл. 1 при обозначении $p^* = P/h^2$ приведены значения τ_{xz}/p^* и τ_{yz}/p^* , вычисленные по формулам (3.20) и (3.21), в применении к изгибу бруса сечения $h \times 2h$ силой P при $n=3$, в сравнении с соответствующими значениями при $n=1$.

Таблица 1

Значения касательных напряжений τ_{xz} и τ_{yz} при изгибе бруса
прямоугольного сечения $h \times 2h$

		$2y/h$	x/h							
			0,125	0,250	0,375	0,500	0,625	0,750	0,875	1,000
τ_{xz}/p^*	0	$n=3$	0,850	0,789	0,699	0,592	0,470	0,333	0,178	0
		$n=1$	0,558	0,530	0,484	0,421	0,338	0,236	0,111	0
τ_{xz}/p^*	1	$n=3$	0,741	0,623	0,507	0,386	0,263	0,140	0,031	0
		$n=1$	0,606	0,579	0,535	0,469	0,387	0,284	0,159	0
		x/h	$2y/h$							
			0,125	0,250	0,375	0,500	0,625	0,750	0,875	1,000
τ_{xz}/p^*	0	$n=3$	0,874	0,874	0,875	0,875	0,876	0,876	0,877	0,877
		$n=1$	0,567	0,570	0,573	0,578	0,585	0,594	0,604	0,614
τ_{yz}/p^*	0	$n=3$	0,0196	0,0388	0,0540	0,0703	0,0712	0,0705	0,0522	0
		$n=1$	0,0054	0,0102	0,0147	0,0181	0,0196	0,0194	0,0153	0

§ 4. Изгиб консольного бруса тонкостенного швеллерного сечения

Рассмотрим определение напряжений у консольного бруса, сечение которого показано на фиг. 4, при действии силы, параллельной оси x , при условии отсутствия закручивания. Из условия тонкостенности сечения имеем

$$\begin{aligned} \tau_{xz} = 0 \quad \text{и} \quad \frac{\partial \tau_{xz}}{\partial x} = 0 \quad \text{на полках} \\ \tau_{yz} = 0 \quad \text{и} \quad \frac{\partial \tau_{yz}}{\partial y} = 0 \quad \text{на стенке} \end{aligned} \quad (4.1)$$

Вследствие симметрии поперечного сечения относительно оси y , получим, что условия (2.10) удовлетворяются при

$$\begin{aligned} \alpha(t) = -\frac{A}{a^{1+2n}} \left[\frac{1+2n}{2\delta(1+3n)} \right]^n (1+K^*) [P^n(t)] \\ \beta(t) \equiv \delta(t) = 0 \end{aligned} \quad (4.2)$$

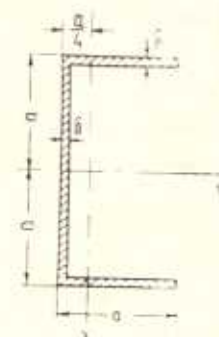
где степенная функция от отрицательных аргументов понимается в смысле нечетного ее продолжения.

Согласно (2.9) и (4.2), нормальные напряжения σ_x определяются по формулам

$$\begin{aligned} \sigma_x = \mp \frac{P(1+2n)(l-z)}{2(1+3n)\delta a^2} \quad \text{на полках } x = \pm a \\ \sigma_x = -\frac{|x|^{1+n-1} x P(l-z)(1+2n)}{2(1+3n)\delta a^{2+1/n}} \quad \text{на стенке} \end{aligned} \quad (4.3)$$

Используя (4.1), (2.2) и (4.3), а также очевидные условия $\tau_{yz}(3/4a) = 0$ и $\int_{-a}^a \tau_{xz}(x) \delta dx = P$, получим

$$\begin{aligned} \tau_{xz}(\pm a, y) = \pm \frac{P(1+2n)}{2(1+3n)\delta a} \left(\frac{3}{4} - \frac{y}{a} \right) \\ \tau_{xz}(\pm a, y) = 0 \quad \text{на полках} \end{aligned} \quad (4.4)$$



Фиг. 4.

$$\begin{aligned} \tau_{xz}\left(x, -\frac{a}{4}\right) = \frac{P(1+2n)}{2\delta a(1+3n)(1+n)} \left[1+2n - n \left(\frac{|x|}{a} \right)^{1/n+1} \right] \quad \text{на стенке} \\ \tau_{yz}\left(x, -\frac{a}{4}\right) = 0 \end{aligned}$$

При $n = 1$ из (4.4) получим

$$\tau_{xz}\left(x, -\frac{a}{4}\right) = \frac{3}{16} \frac{P}{\delta a} \left[3 - \left(\frac{|x|}{a} \right)^2 \right] \quad (4.5)$$

что совпадает с формулой Журавского для швеллерных сечений.

Центр изгиба определяется значением y_0 при $P_y = 0$, согласно (2.22), (4.4) и (4.5), по формуле

$$y_0 = - \frac{5n^2 + 7n + 2}{12n^2 + 16n + 4} a$$

Отметим, что зависимость y_0 от показателя нелинейности n весьма мала. Действительно, для линейно-деформируемых тел ($n = 1$) имеем $y_0 = -0,4375 a$, в то время как при $n = 3$ $y_0 = -0,425 a$, а при $n \rightarrow \infty$ $y_0 = -0,4167 a$.

ՈՂ ԳՐԱՅԻՆ ՍՈՂՔԻ ՏԵՍՈՒԹՅԱՆ ՄԵՋ ԿՈՆՍՈԼԻ ԼԱՅՆԱԿԱՆ ԾՈՒՄԱՆ ՄԱՍԻՆ

Ա. Մ. ՍԻՄՈՆԻԱՆ, Զ. Ա. ԱՎԵՏԻՍԻԱՆ

Ա. մ. փ. ո. փ. ո. ի. մ.

Ուղ գծային ժառանգական սողքի տեսության հիման վրա կառուցվում է կամայական լայնական հատվածքի կոնսոլային շրջուրի վրա ազդող կենտրոնացված լայնական ուժի ազդեցության խնդրի լուծումը: Խնդիրը բերված է մասնակի ածանցյալներով երկրորդ սենյի գիֆերենցիալ հավասարման լուծման: Ուղղանկյուն լայնական հատվածքի դեպքում ստացված են լարումների համար արտահայտություններ: Ստացված են բանաձևերը լարումների և ծրման կենտրոնի որոշման համար շվեդերային հատվածքի բարակապատ շրջուրի դեպքում:

ON THE CROSS-SECTION BENDING OF THE CONSOLE IN THE NONLINEAR THEORY OF CREEP

A. M. SIMONIAN, G. A. AVETISSIAN

S u m m a r y

On the basis of the nonlinear hereditary theory of creep, the solution of the problem concerning the action of concentrated shear force on a cantilever beam with an arbitrary cross-section is built.

The problem is reduced to the second order differential equation. In the case of a right-angled cross-section, the expressions for stresses are received. The formulas for the determination of stresses and the center of bending, in the case of a thin-walled beam with a horizontal cross-section, are obtained.

ЛИТЕРАТУРА

1. *Малинин Н. Н.* Некоторые одномерные задачи неустановившейся ползучести.—
Иж. сб., 1951, т. 10.
2. *Малинин Н. Н.* Основы расчета на ползучесть. М.: Машгиз, 1948.
3. *Ptechnik S., Chrzalowski M.* Time of total creep rupture of a beam under combined tension and bending.—*Int. journal solids and structure*, 1970, v. 6, No. 4.
4. *Александрян Р. А., Арутюнян Н. Х., Манукян М. М.* Релаксационная задача об изгибе призматического стержня.—*Изв. АН СССР, ОТН, Механика и машиностроение*, 1959, № 1.
5. *Работнов Ю. Н.* Некоторые вопросы теории ползучести.—*Вестник МГУ*, 1948, № 10.
6. *Арутюнян Н. Х., Чобанян К. С.* Изгиб призматических стержней, составленных из различных материалов, с учетом ползучести.—*Изв. АН АрмССР, серия физ.-мат. наук*, 1957, т. 10, № 5.
7. *Аветисян Г. А.* Поперечный изгиб однородного призматического стержня, находящегося в условиях неустановившейся ползучести.—*Изв. АН АрмССР, Механика*, 1977, т. 30, № 5.
8. *Качанов Л. М.* Теория ползучести. М.: Физматгиз, 1960.
9. *Работнов Ю. Н.* Ползучесть элементов конструкций. М.: Наука, 1966.
10. *Simonian A. M.* Calculation of thermal stresses in thick-walled cylinders taking account of non-linear creep.—*International Journal of Engineering Science*, 1979, v. 17, No. 5.
11. *Арутюнян Н. Х.* Некоторые вопросы теории ползучести. М.: Гостехтеориздат, 1952.
12. *Ватсон Дж. Н.* Теория бесселевых функций. ч. 1. М.: ИЛ, 1975.
13. *Камке Э.* Справочник по обыкновенным дифференциальным уравнениям. М.: Наука, 1976.
14. *Тимошенко С. П., Гульвер Дж.* Теория упругости. М.: Наука, 1975.

СКТБ Института механики АН АрмССР
Ереванский политехнический институт им. К. Маркса

Поступила в редакцию
8. IX. 1981